

Spectral sum of current correlators from lattice QCD

石川力 (総研大、KEK、R-CCS)

collaborating with 橋本省二

based on arXiv:2103.06539

Outline

- QCD sum rule の計算に現れていたスペクトル和を格子QCDで計算する手法を提案する
- 格子による手法は摂動QCD・OPEの検証の場を与え、QCDパラメータの決定にも応用できる

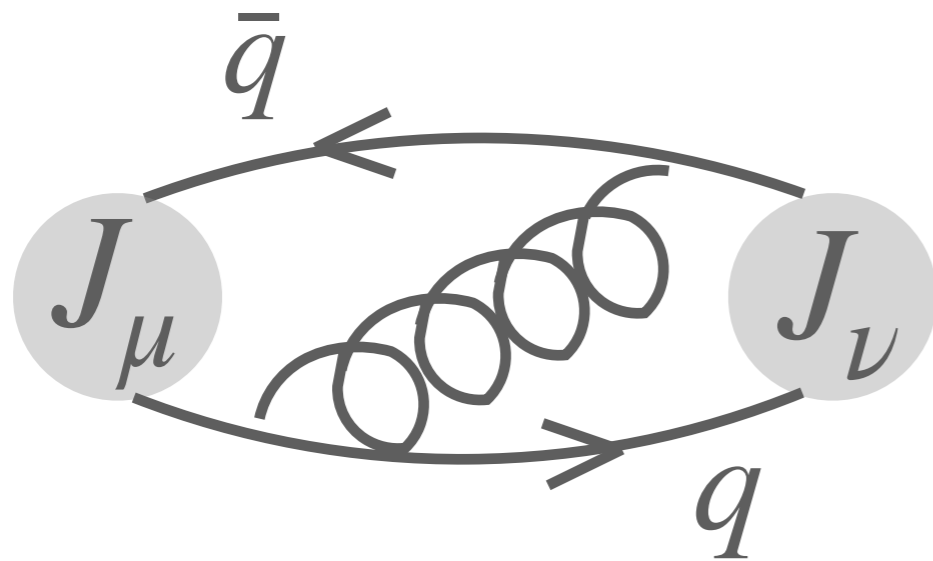
1. 背景と動機
2. スペクトル和の計算手法
3. 結果
4. まとめと展望

背景

QCD sum rule 1

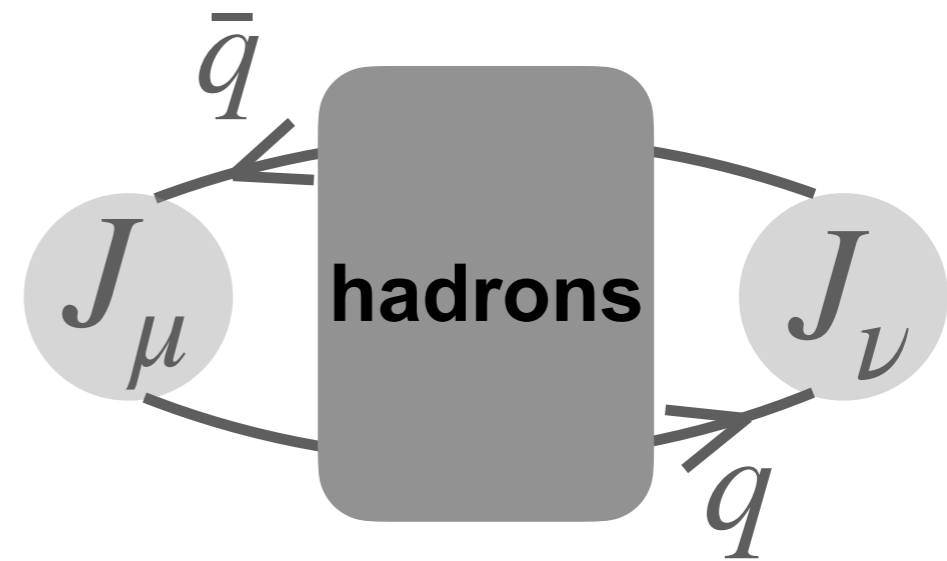
QCDからハドロンの質量などを解析的に予言することは困難

手計算できるもの
(摂動QCD+OPE)



クォークとグルーオン

現実



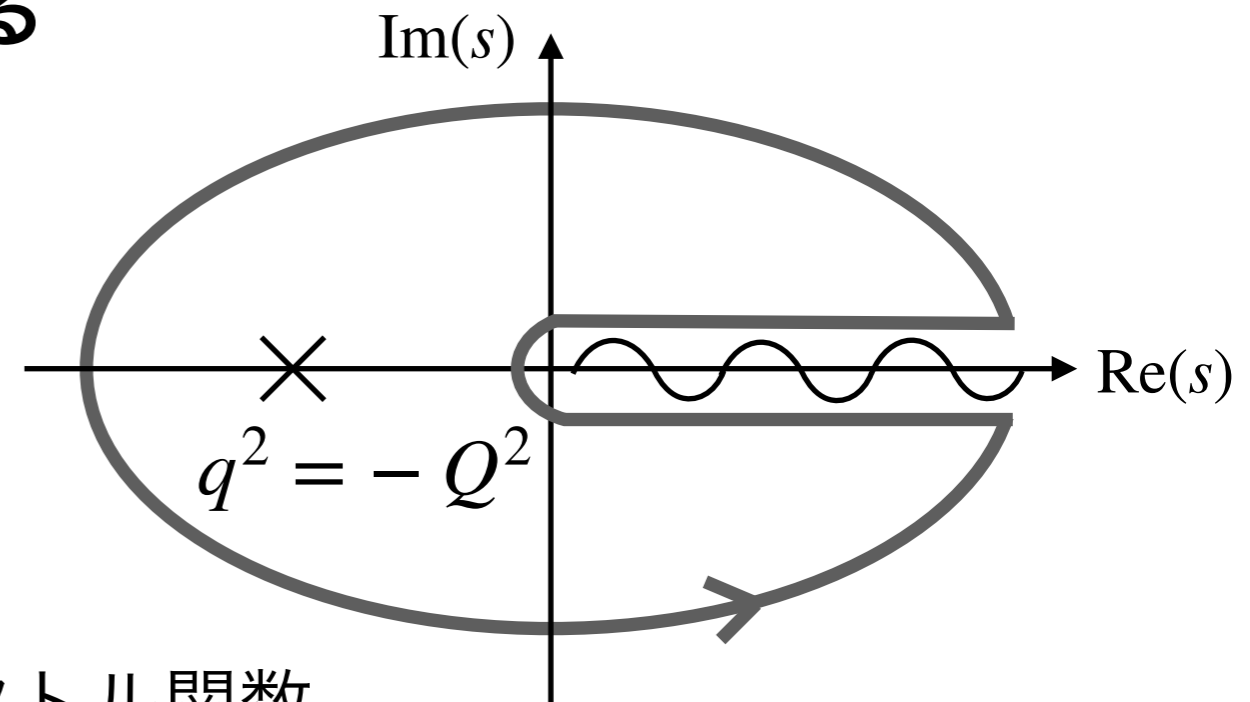
QCD sum rule 2

◆ 解析的な性質により結びつける

- 分散関係

$$\Pi(q^2) = \int_0^\infty ds \frac{\rho(s)}{s - q^2}$$

$$\rho(s) = \frac{1}{\pi} \text{Im} \Pi(s + i\epsilon): \text{スペクトル関数}$$



- 左辺は $q^2 = -Q^2 \ll 0$ では摂動+OPEで計算できる
- 右辺はハドロン状態の和 (積分)

QCD sum rule 3

◆ 重み (スミア) 関数を導入 → 両辺にBorel 変換

$$\tilde{\Pi}^{\text{OPE}}(M^2) = \frac{1}{M^2} \int ds e^{-s/M^2} \rho_{\text{ph}}(s)$$

$$\bullet \mathcal{B}_M \left[\frac{1}{s + Q^2} \right] = \frac{1}{M^2} e^{-s/M^2}$$

→ 低エネルギーに感度

$$\bullet \mathcal{B}_M \left[\frac{1}{Q^{2n}} \right] = \frac{1}{(n-1)!} \frac{1}{M^{2n}}$$

→ OPEの収束を改善

◆ QCDの結合定数やクォーク質量などからハドロンのパラメータを予言

現象論的なモデル

ハドロンの質量や崩壊定数

Borel変換の定義

$$\mathcal{B}_M := \lim_{\substack{n, Q^2 \rightarrow \infty \\ Q^2/n = M^2}} \frac{Q^{2n}}{(n-1)!} \left(-\frac{\partial}{\partial Q^2} \right)^n$$

動機

QCDのパラメータの決定

α_s や m_q などのQCDのパラメータはOPEとの比較で決定できる

$$\langle O \rangle^{\text{OPE}} = \langle O \rangle^{\text{lat}}$$

ここでの要請は

OPE

- 典型的なエネルギースケールが十分高く摂動論が適用できる。

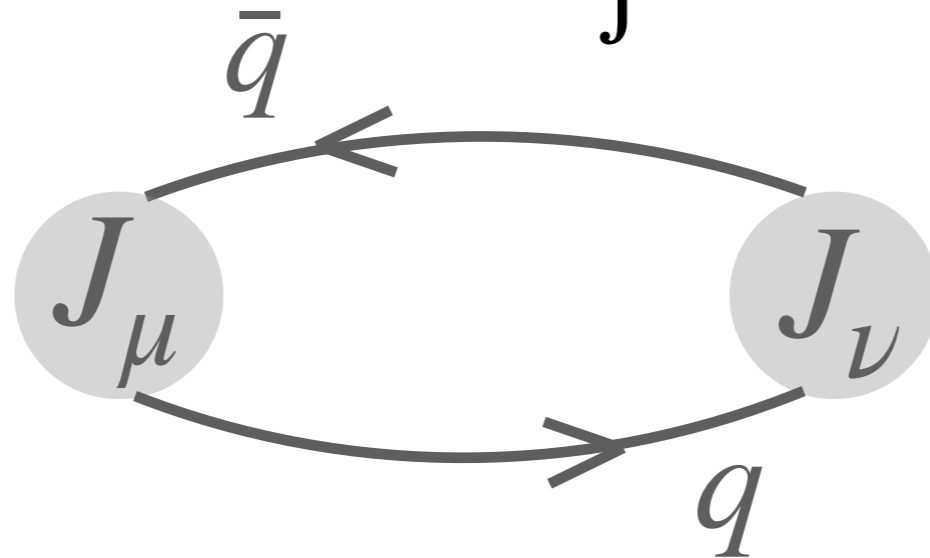
格子QCD

- 離散化誤差が小さく制御しやすい。

カレント-カレント相関関数

ハドロン真空偏極 (HVP)

$$(Q_\mu Q_\nu - Q^2 g_{\mu\nu}) \Pi(Q^2) := i \int d^4x e^{iQ \cdot x} \langle J_\mu(x) J_\nu(0) \rangle$$



- スケールパラメータ: Q^2
- 摂動 $O(\alpha_s^4)$ ○
- 格子計算 ○
- OPE ▲

$$\Lambda_{\text{QCD}}^2 \ll Q^2 \ll 1/a^2$$

OPEの収束には $Q \gtrsim 1.8 \text{ GeV}$
以上必要

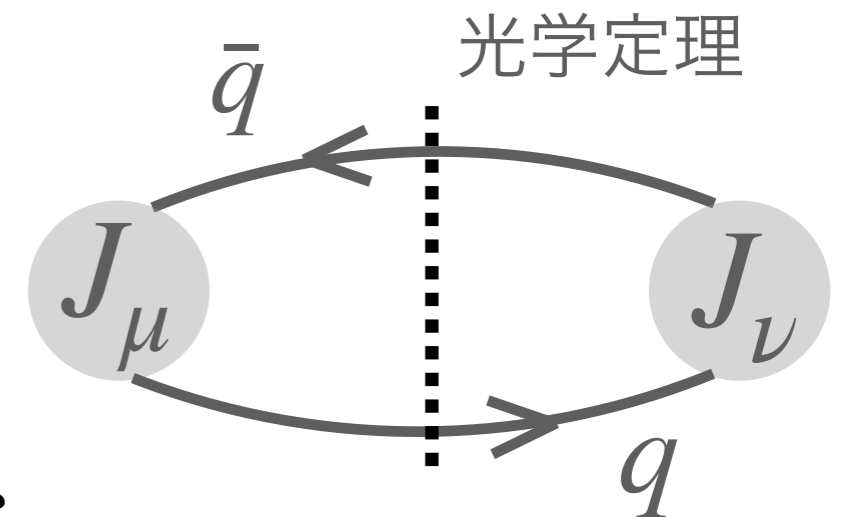
window問題はやや厳しい

[Hudspith, Lewis, Maltman, Shintani, 18]

Borel変換

本研究では

QCD sum rule に現れるBorel変換に着目



Borel 変換されたHVP

$$\tilde{\Pi}(M^2) := \mathcal{B}_M[\Pi(Q^2)] = \frac{1}{M^2} \int ds e^{-s/M^2} \rho(s)$$

$$\rho(s) = \frac{1}{\pi} \text{Im} \Pi(s + i\epsilon) \sim \sum_n |\langle n | J_\mu | 0 \rangle|^2 \delta(s - E_n^2)$$

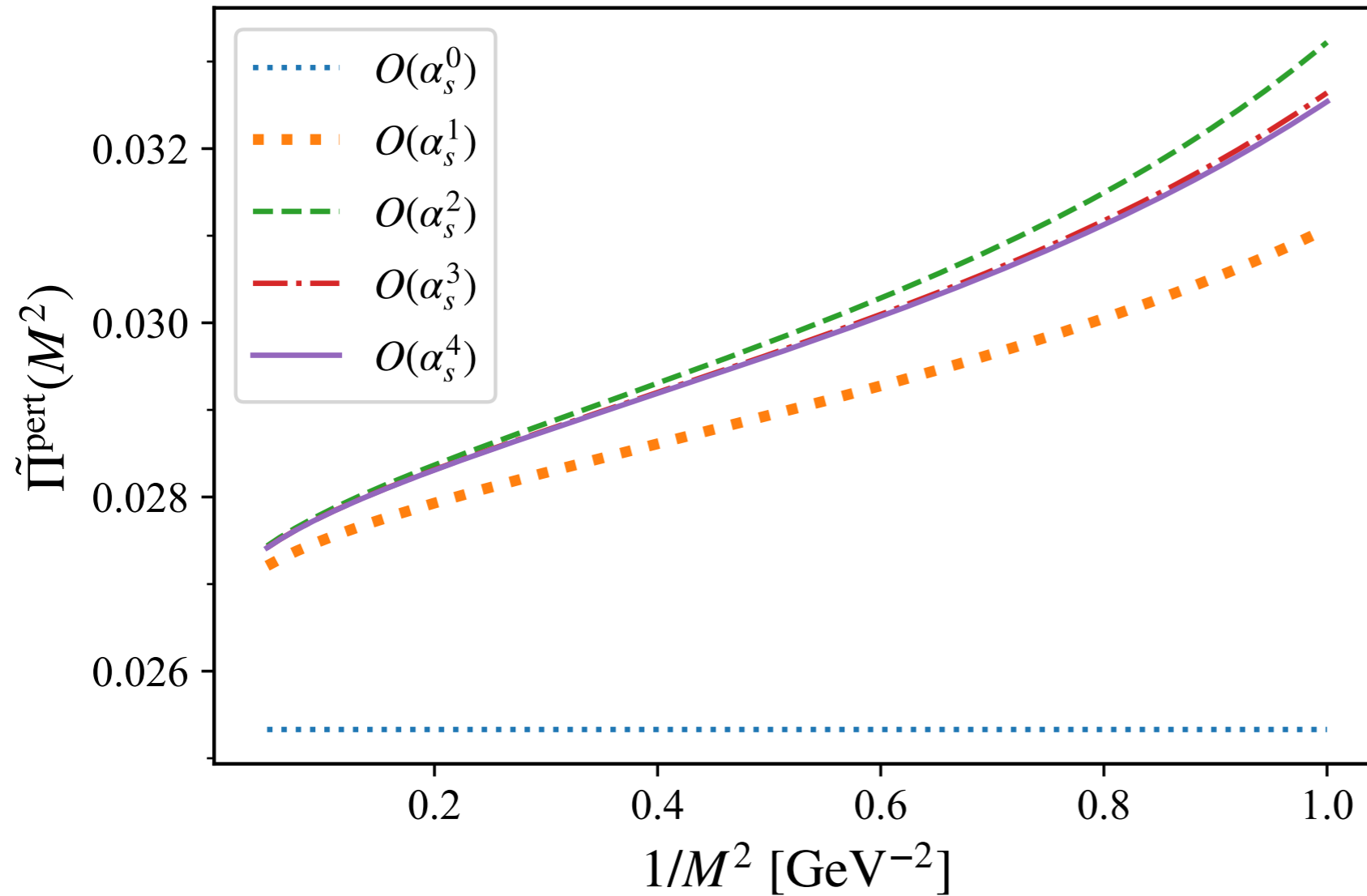
• スケールパラメータ: M^2

• 摂動 $\bigcirc \leftarrow O(\alpha_s^4)$

• OPE $\bigcirc \leftarrow \mathcal{B}_M \left[\frac{1}{Q^{2n}} \right] = \frac{1}{(n-1)!} \frac{1}{M^{2n}}$

• 格子計算 $?$

massless 摂動QCD



- $O(\alpha_s^4)$ まで
- 繰り込みスケール
 $\mu^2 = M^2 e^{-\gamma_E}$
- 打ち切り誤差は小さい

OPEのBorel変換

$$\begin{aligned} \Pi^{\text{OPE}}(Q^2) = & \frac{1}{4\pi^2} \left(1 + \frac{\alpha_s(\mu^2)}{\pi} \right) \log \left(\frac{\mu^2}{Q^2} \right) - \frac{3}{2\pi^2} \frac{m^2}{Q^2} \\ & + \frac{1}{12} \frac{\langle 0 | \frac{\alpha_s}{\pi} G^2 | 0 \rangle}{Q^4} + \frac{2m \langle 0 | \bar{q}q | 0 \rangle}{Q^4} - \frac{224\pi\alpha_s(\mu^2)}{81} \frac{\langle 0 | \bar{q}q | 0 \rangle^2}{Q^6} \end{aligned}$$

$$\begin{aligned} \tilde{\Pi}^{\text{OPE}}(M^2) = & \frac{1}{4\pi^2} \left(1 + \frac{\alpha_s(\mu^2)}{\pi} \right) - \frac{3}{2\pi^2} \frac{m^2}{M^2} \\ & + \frac{1}{12} \frac{\langle 0 | \frac{\alpha_s}{\pi} G^2 | 0 \rangle}{M^4} + \frac{2m \langle 0 | \bar{q}q | 0 \rangle}{M^4} - \frac{112\pi\alpha_s(\mu^2)}{81} \frac{\langle 0 | \bar{q}q | 0 \rangle^2}{M^6} \end{aligned}$$

これより高次の項は階乗で抑制される

OPEの質量次元ごとの比較

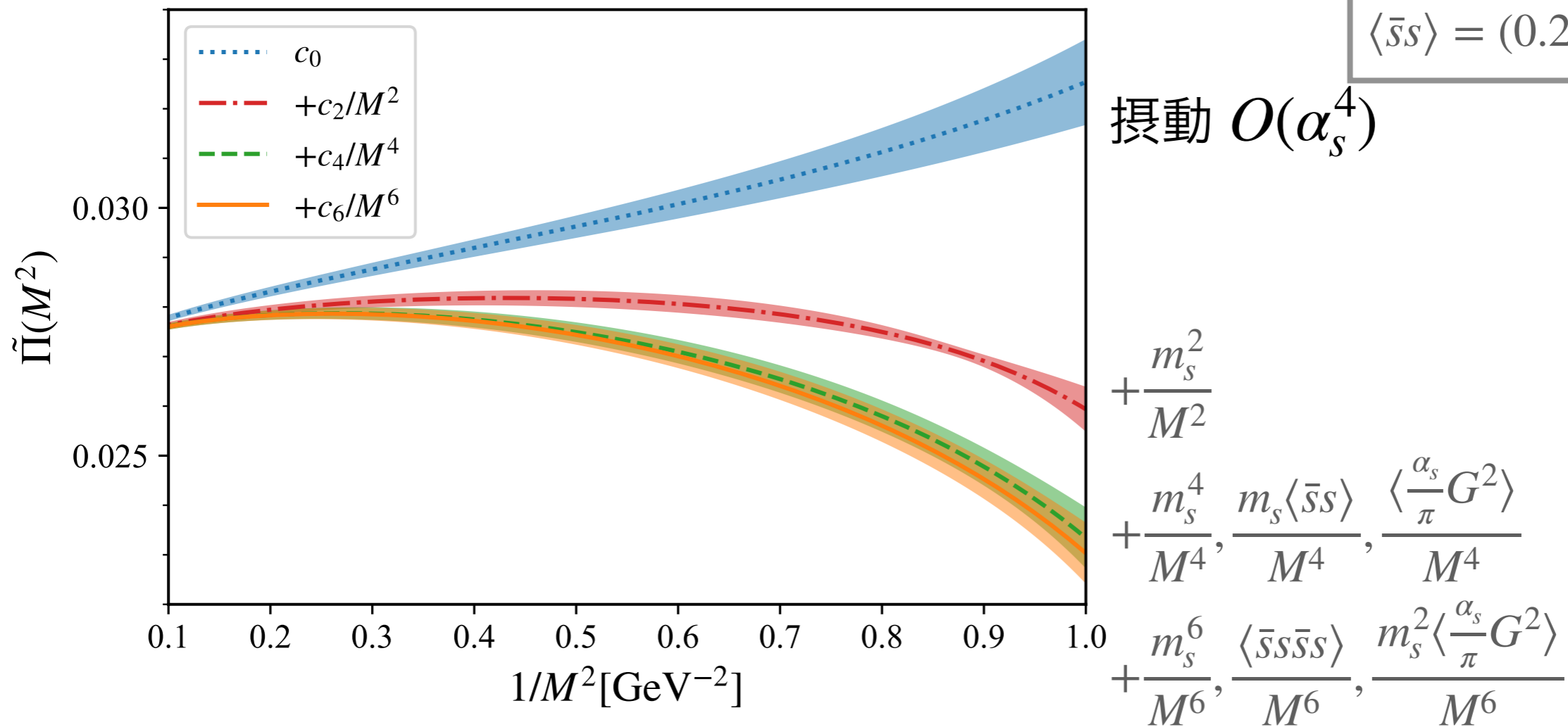
input

$$\mu^2 = M^2 e^{-\gamma_E}$$

$$m_s(2 \text{ GeV}) = 0.0920(11) \text{ GeV}$$

$$\Lambda_{\overline{\text{MS}}}^{n_f=3} = 0.332(17) \text{ GeV}$$

$$\langle \bar{s}s \rangle = (0.272(5) \text{ GeV})^3$$



スペクトル和の計算手法

転送行列展開 (1)

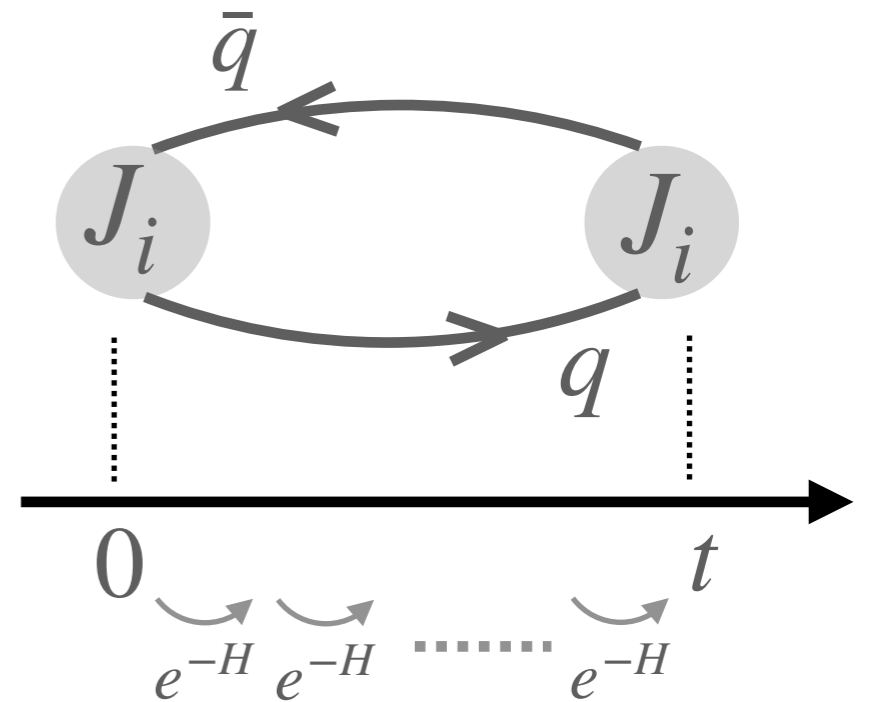
格子QCDによる $\tilde{\Pi}(M^2)$ の計算は非自明

◆ カレント-カレント相関関数

$$C(t) = \langle J_i(t) J_i(0) \rangle = \int d\omega e^{-\omega t} \omega^2 \rho(\omega^2)$$

$(\omega^2 = s)$

からスペクトル関数を求めるのは
不良設定逆問題



[G. Bailas, S. Hashimoto, TI, PTEP2020 043B07]

転送行列 e^{-H} による展開により直接スペクトル和を計算

$$C(t = n) = \langle J_i | (e^{-H})^n | J_i \rangle, \rho(\omega^2) = \langle J_i | \delta(\omega - H) | J_i \rangle$$

$$\tilde{\Pi}(M^2) = \frac{1}{M^2} \int ds e^{-s/M^2} \rho(s) = \sum_n a_n(M^2) \langle J_i | (e^{-H})^n | J_i \rangle$$

$e^{-\omega}$ で展開

転送行列展開 (2)

展開の係数の決め方

Chebyshev展開 ← 直交多項式展開の一種

$$\tilde{\Pi}(M^2) \simeq \frac{c_0^*(M^2)}{2} C(0) + \sum_{j=1}^N c_j^*(M^2) \langle T_j^*(e^{-H}) \rangle$$

$c_j^*(M^2)$ は関数 $\frac{2}{M^2\omega} e^{-\omega^2/M^2}$ のChebyshev展開によって決まる

(shifted) Chebyshev多項式

$$\begin{aligned} T_1^*(x) &= 2x - 1, T_2^*(x) = 8x^2 - 8x + 1, \dots \\ \langle T_1^*(e^{-H}) \rangle &= 2C(1) - C(0), \langle T_2^*(e^{-H}) \rangle = 8C(2) - 8C(1) + C(0), \dots \end{aligned}$$

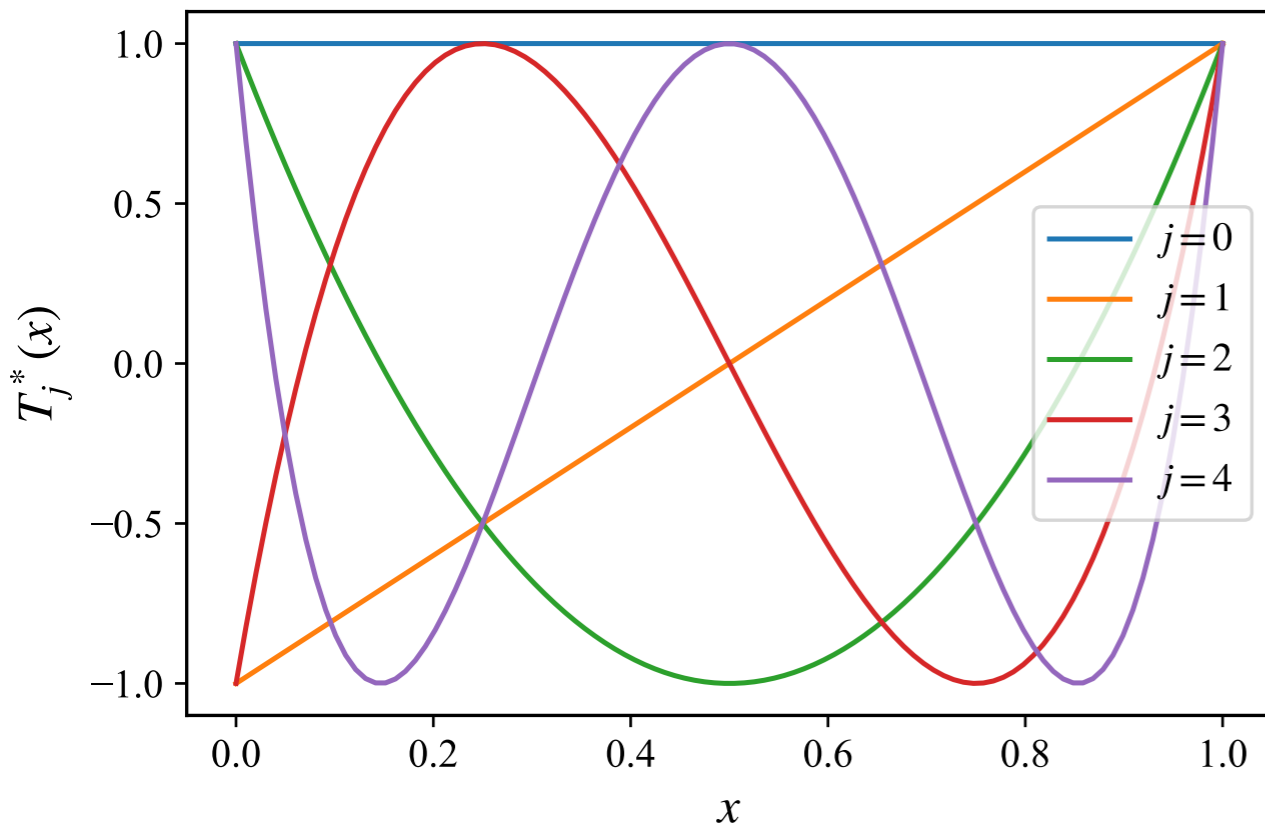
$x^n \rightarrow C(n)$ 格子シミュレーションによる相関関数

チェビシエフ展開

$$f(x) \simeq \frac{c_0^*}{2} + \sum_{j=1} c_j^* T_j^*(x) \quad c_j^* = \frac{2}{\pi} \int_0^1 \frac{dx}{\sqrt{x(1-x)}} f(x) T_j^*(x)$$

• 直交性

$$\delta_{jk} = \frac{2}{\pi} \int_0^1 \frac{dx}{\sqrt{x(1-x)}} T_j^*(x) T_k^*(x)$$



本研究での応用

$x = e^{-\omega}$	$f = \frac{2}{M^2 \omega} e^{-\omega^2/M^2}$
$x \mid 0 \rightarrow 1$	
$\omega \mid \infty \rightarrow 0$	$\omega \rightarrow 0$ で発散



カットオフ

$$f = \frac{2}{M^2 \omega} e^{-\omega^2/M^2} \tanh(\omega/\omega_0)$$

カットオフ関数

重み関数に $\tanh(\omega/\omega_0)$ を導入してもスペクトル和を（ほぼ）変えない

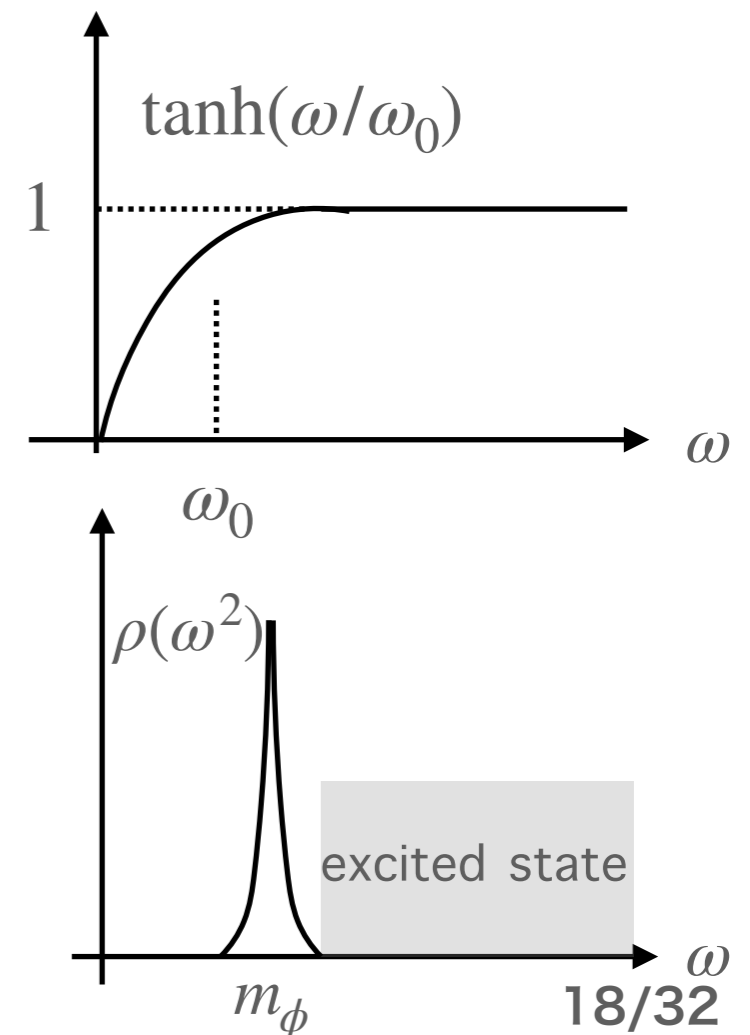
$$\begin{aligned}\tilde{\Pi}(M^2) &= \int d\omega \frac{2}{M^2} e^{-\omega^2/M^2} \omega \rho(\omega^2) \\ &= \int d\omega \left\{ c_0^*(M^2) + \sum c_j^*(M^2) T_j^*(e^{-\omega}) \right\} \omega^2 \rho(\omega^2)\end{aligned}$$

- 低エネルギー側

$$\rho(\omega^2) = 0 \text{ at } \omega \sim 0$$

- 高エネルギー側

$$\tanh(\omega/\omega_0) = 1 \text{ at } \omega \gg \omega_0$$



Setup

- JLQCD ensemble

Nf = 2+1 Möbius domain-wall fermion

β	$a^{-1}[\text{GeV}]$	$L^3 \times T(\times L_5)$	#meas	am_{ud}	am_s
4.17	2.453(4)	$32^3 \times 64 (\times 12)$	800	0.007	0.04
4.35	3.610(9)	$48^3 \times 96 (\times 8)$	600	0.0042	0.025
4.47	4.496(9)	$64^3 \times 96 (\times 8)$	400	0.0030	0.015

計算コストや統計誤差を小さくするため s クォークを用いる

- $J_i = \bar{s}\gamma_i s$

基底状態: ϕ 中間子

- $m_\phi \sim 1 \text{ GeV}$

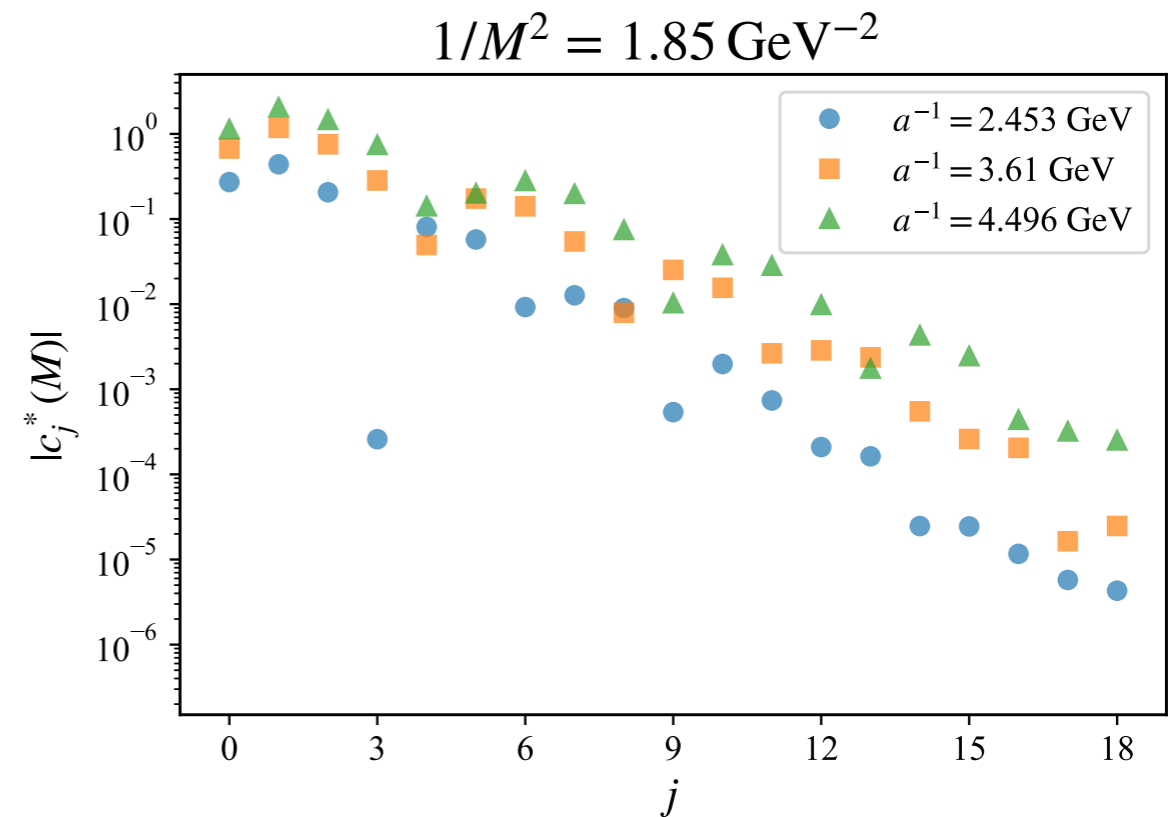
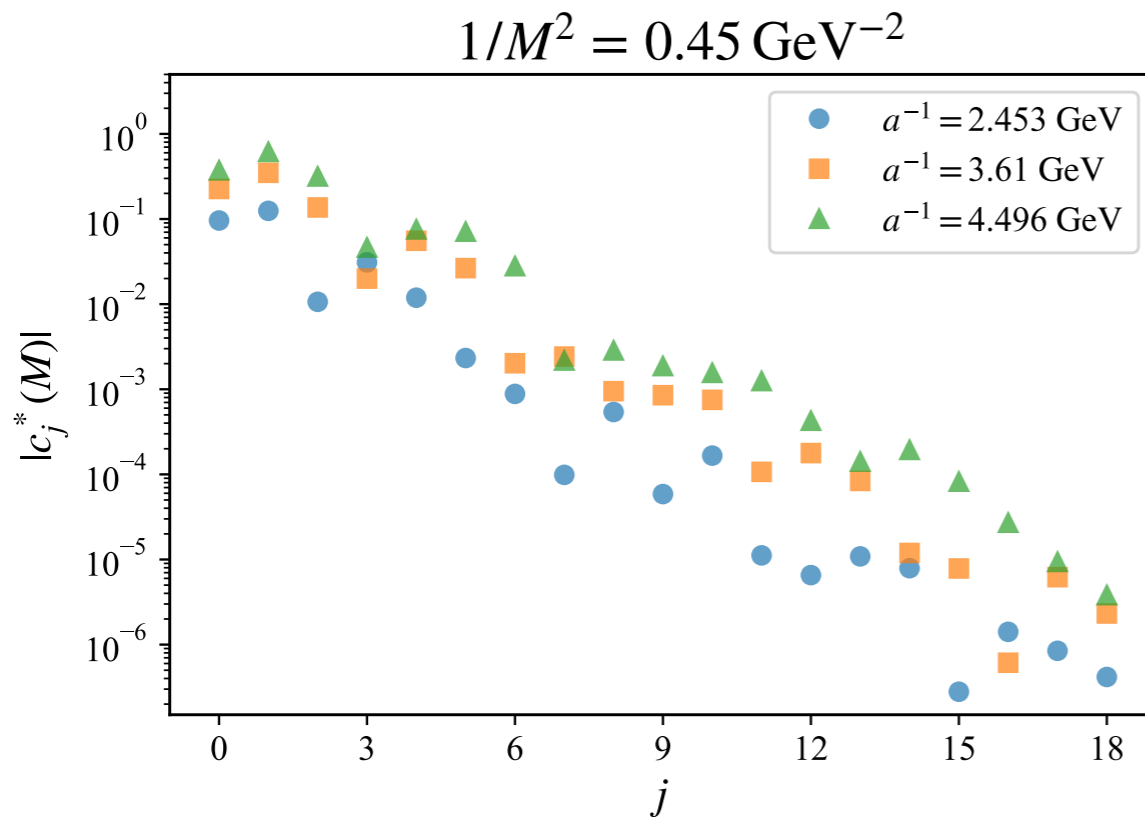
s クォークの質量は、ほぼ物理的な値

結果

Chebyshev展開のテスト1

$|T_j^*(x)| \leq 1$ なので $c_j^*(M^2)$ の大きさから収束を見ることが出来る

$$\frac{2}{M^2\omega} e^{-\omega^2/M^2} \tanh(\omega/\omega_0) \simeq \frac{c_0^*(M^2)}{2} + \sum_{j=1}^N c_j^*(M^2) T_j^*(e^{-\omega})$$



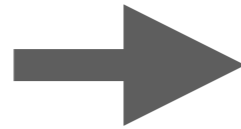
係数は指数関数的に減衰、 $j = 18$ で十分小さい

Chebyshev展開のテスト2

シングルexpの相関関数からスペクトル和を計算

$$\rho(\omega^2) = f^2 \delta(\omega^2 - m^2)$$

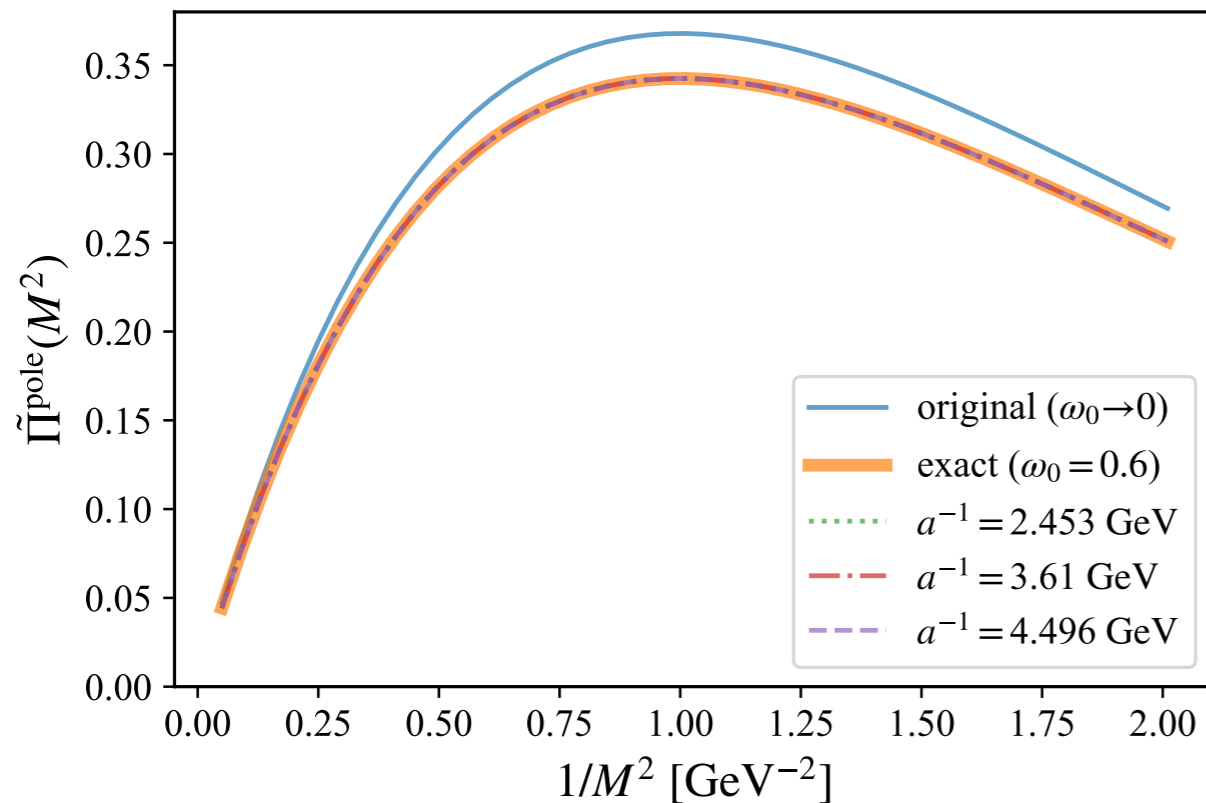
$$C(t) = \frac{f^2 m}{2} e^{-mt}$$



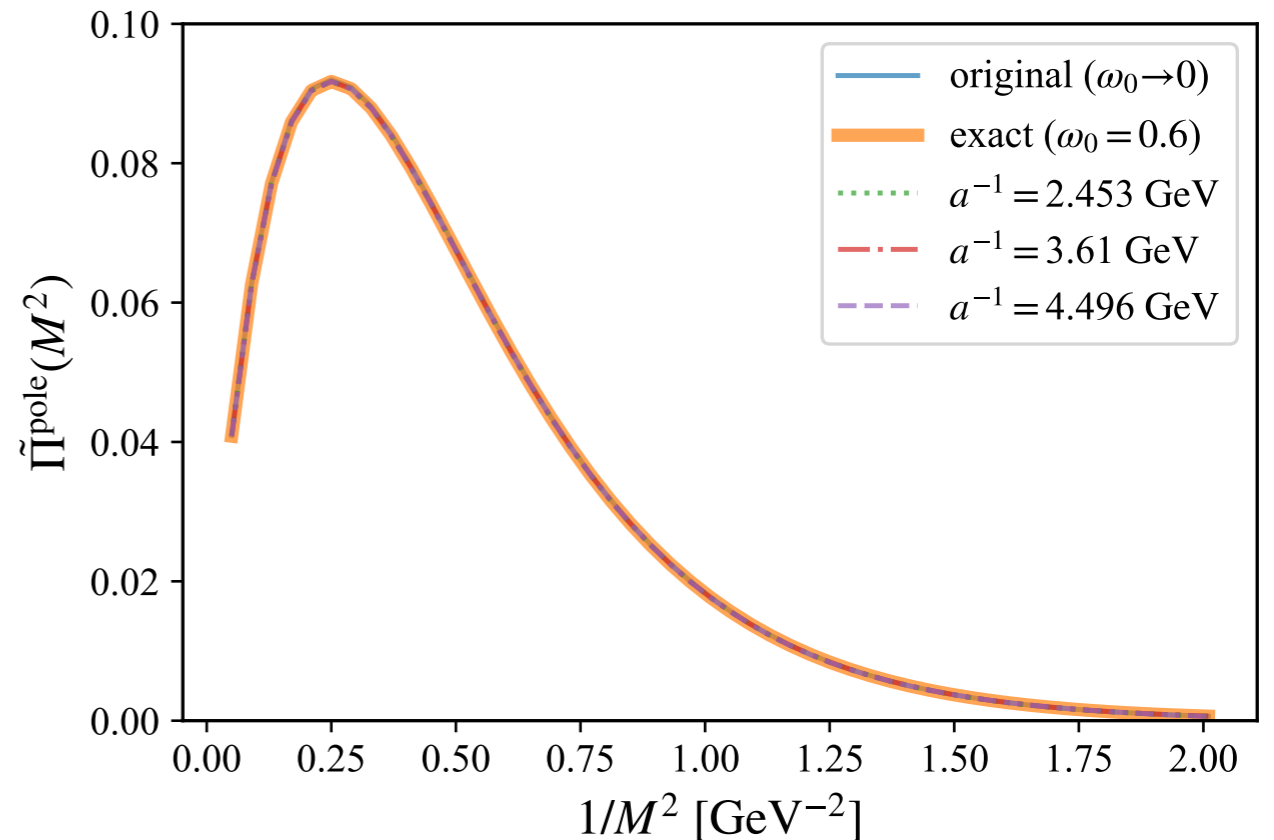
$$\tilde{\Pi}(M^2) = \frac{f^2}{M^2} e^{-m^2/M^2} \tanh(\omega/\omega_0)$$

$$\simeq c_0^*(M^2) + \sum c_j^*(M^2) \langle T_j^*(e^{-m}) \rangle$$

$m = 1 \text{ GeV}, \omega_0 = 0.6 \text{ GeV}$



$m = 2 \text{ GeV}, \omega_0 = 0.6 \text{ GeV}$



OK

$$\tilde{\Pi}(M^2) \simeq \frac{c_0^*(M^2)}{2} C(0) + \sum_{j=1}^N c_j^*(M^2) \langle T_j^*(e^{-H}) \rangle$$

格子計算と組み合わせる

$$\langle T_1^*(e^{-H}) \rangle = 2C(1) - C(0), \quad \langle T_2^*(e^{-H}) \rangle = 8C(2) - 8C(1) + C(0), \dots$$

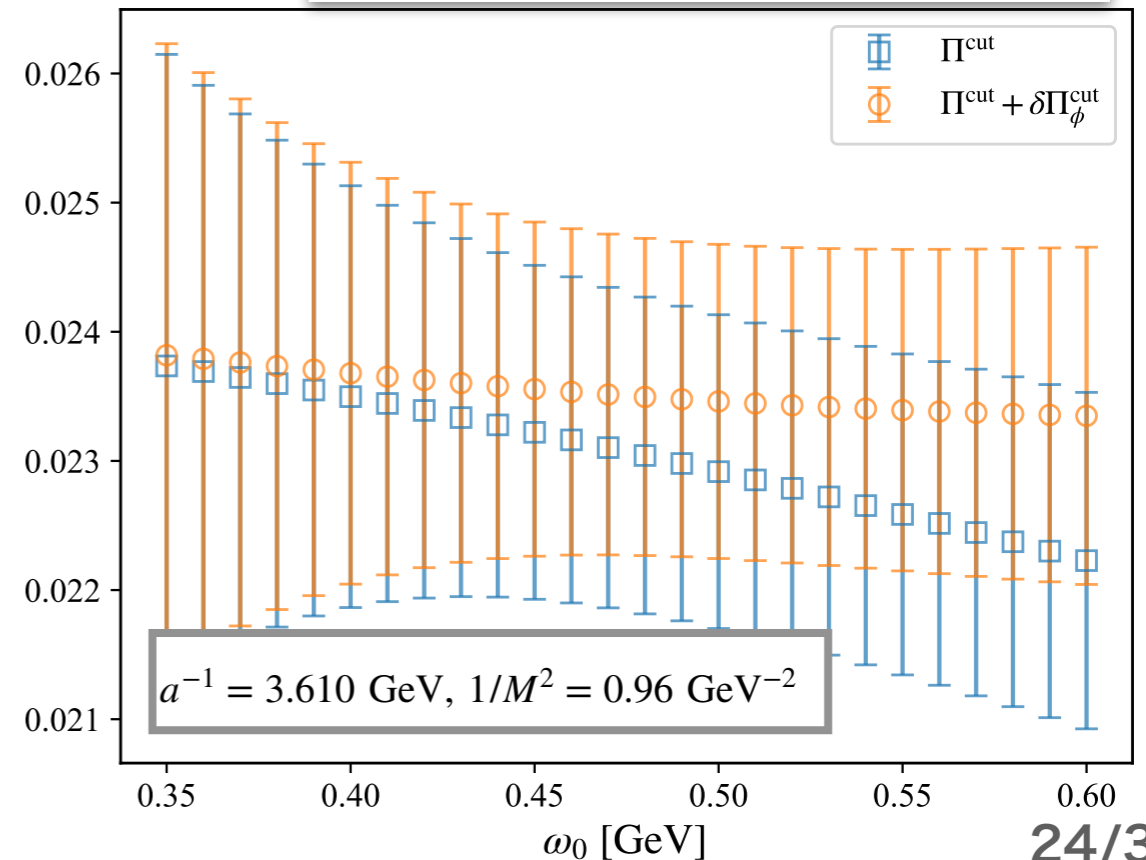
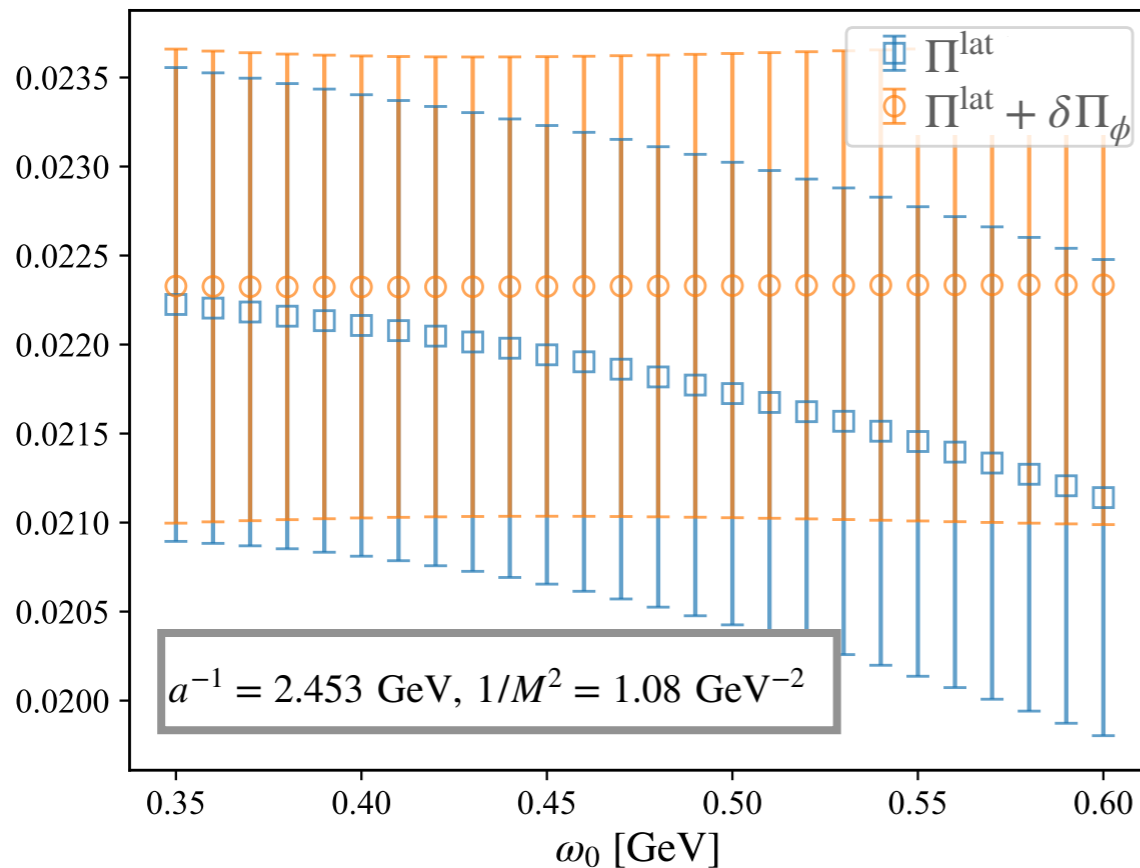
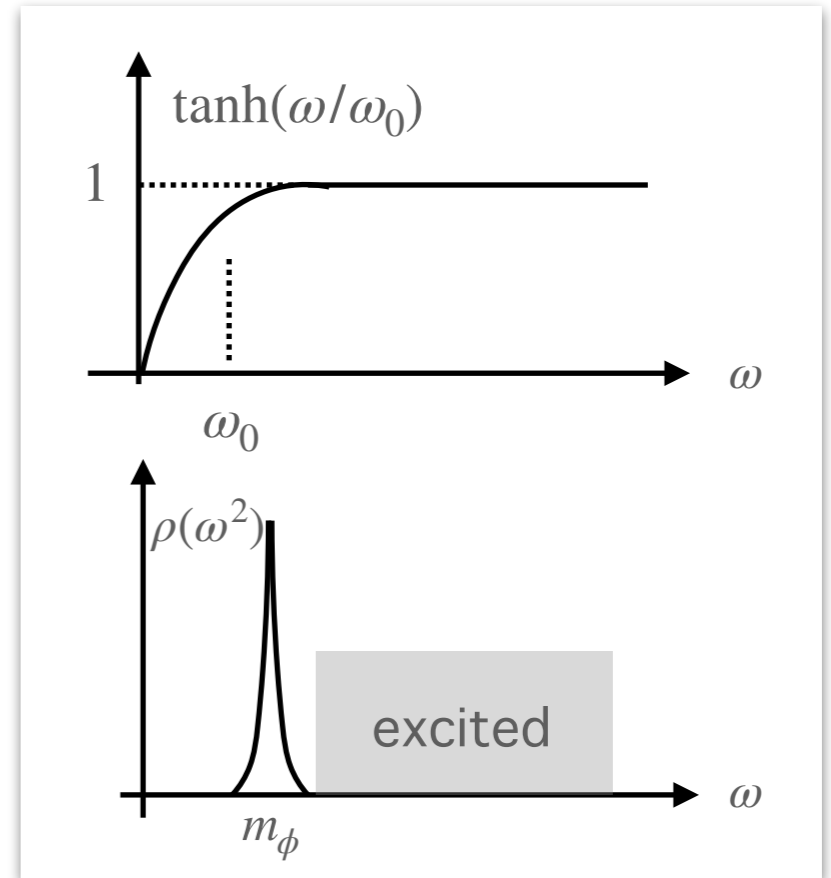
低エネルギーのカットに対する補正

欠けてしまった分を足し戻す

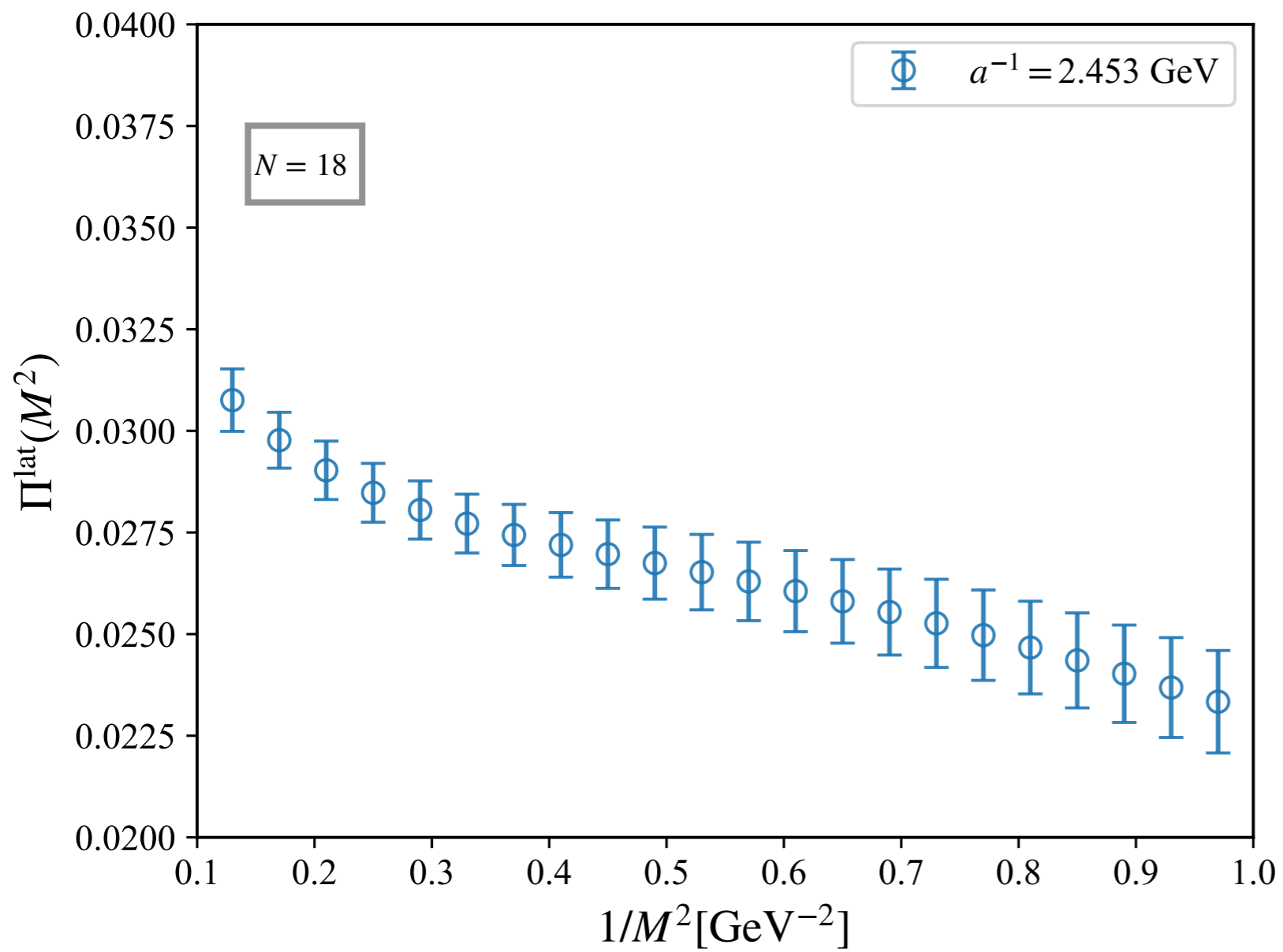
$$\delta\Pi_\phi := f_\phi^2 e^{-m_\phi^2/M^2} (1 - \tanh(m_\phi/\omega_0))$$

▶ 結果は ω_0 の依らなくなる

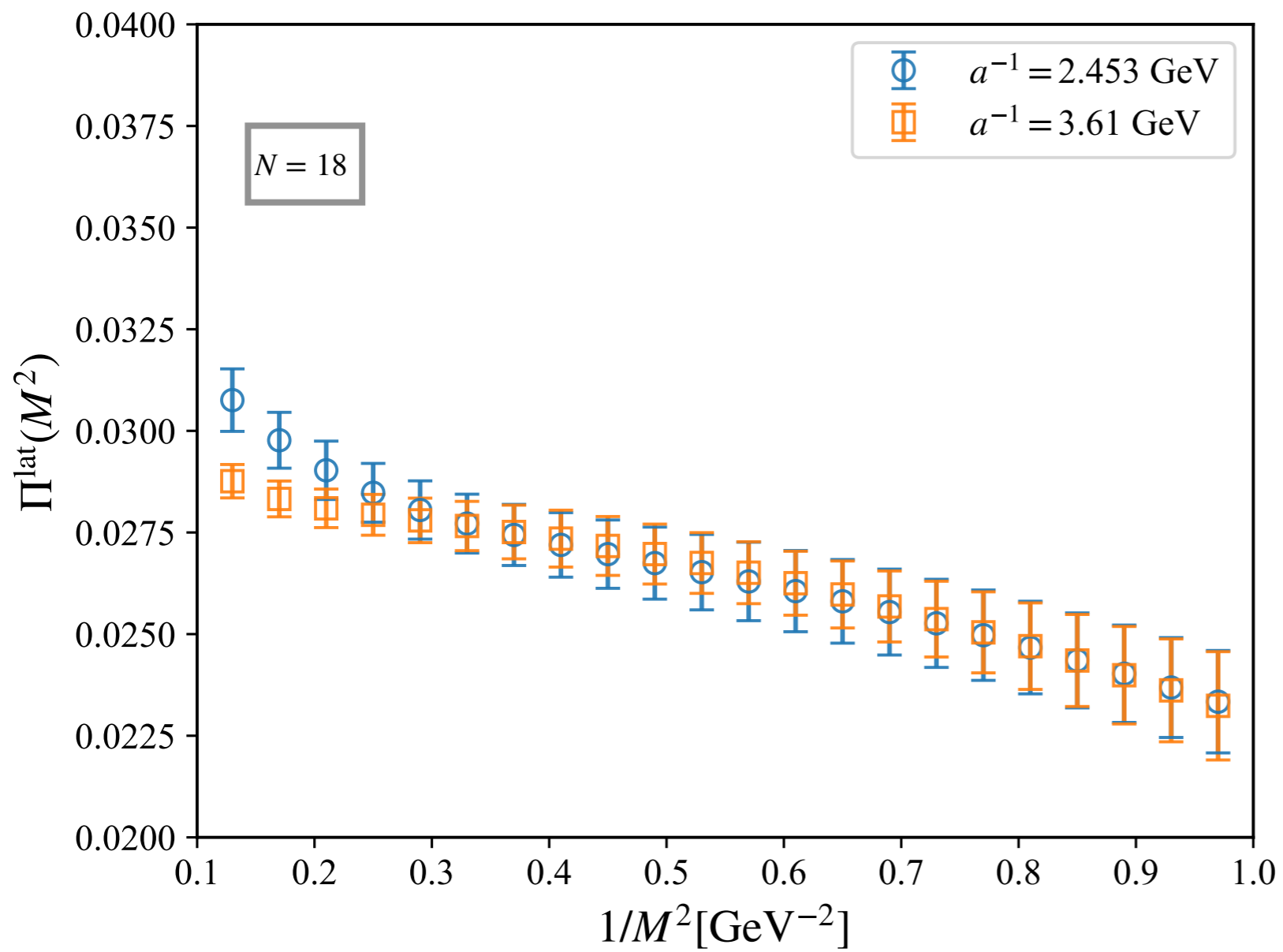
$$\begin{aligned} \Pi_\phi(M^2) &= f_\phi^2 e^{-m_\phi^2/M^2} \\ \Pi_\phi^{\text{cut}}(M^2) &= f_\phi^2 e^{-m_\phi^2/M^2} \tanh(m_\phi/\omega_0) \end{aligned}$$



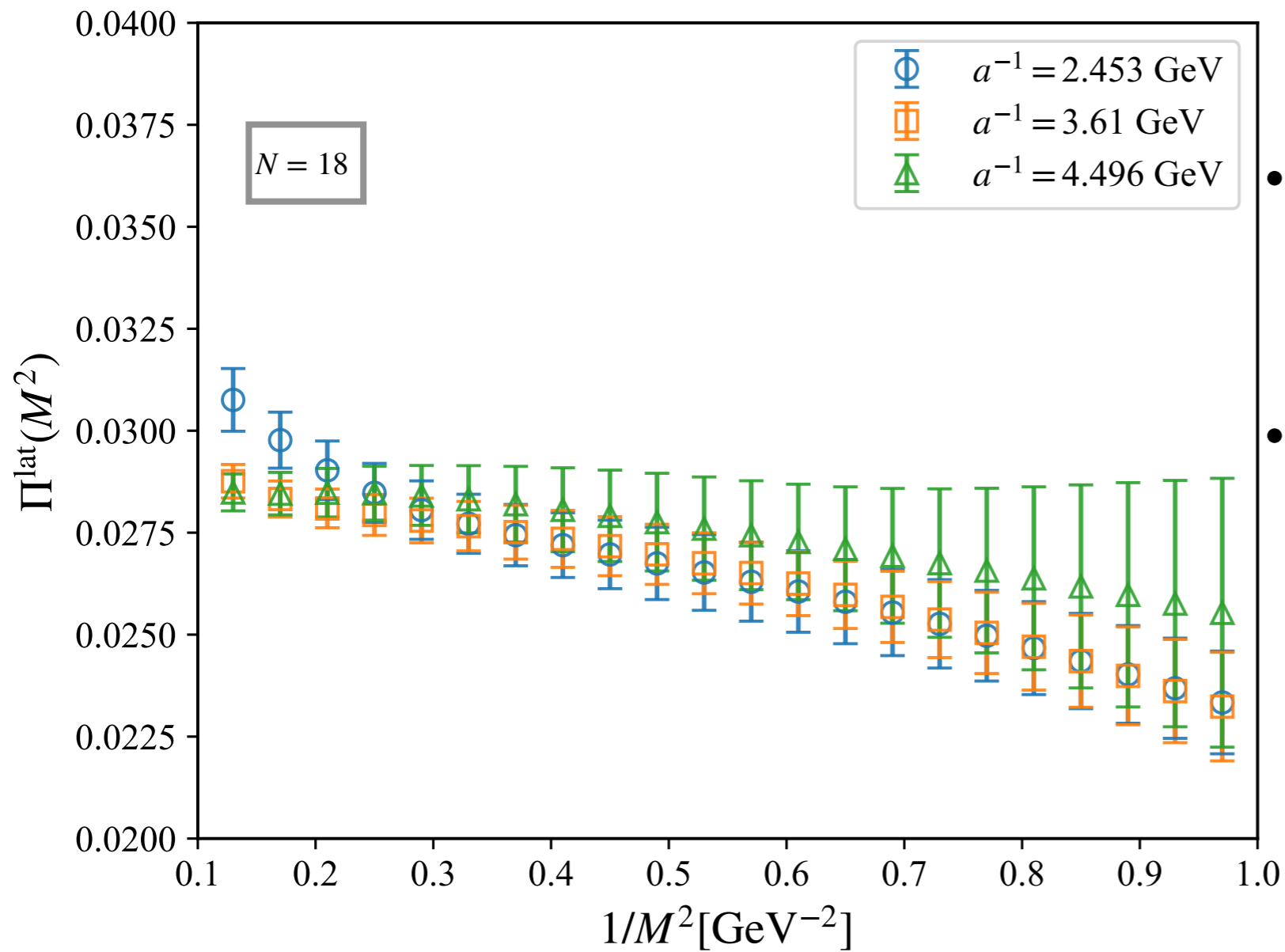
格子QCDによる結果



格子QCDによる結果



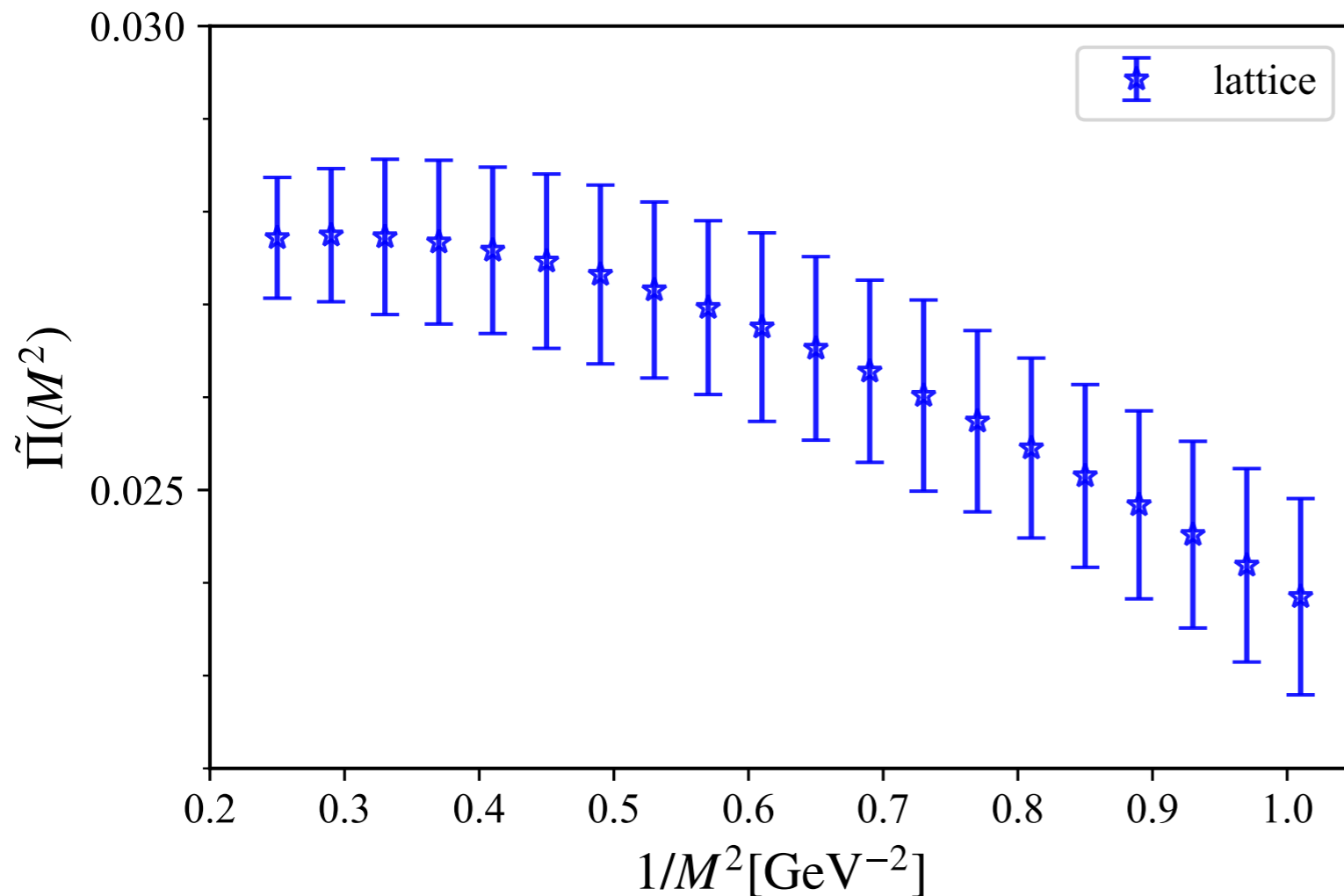
格子QCDによる結果



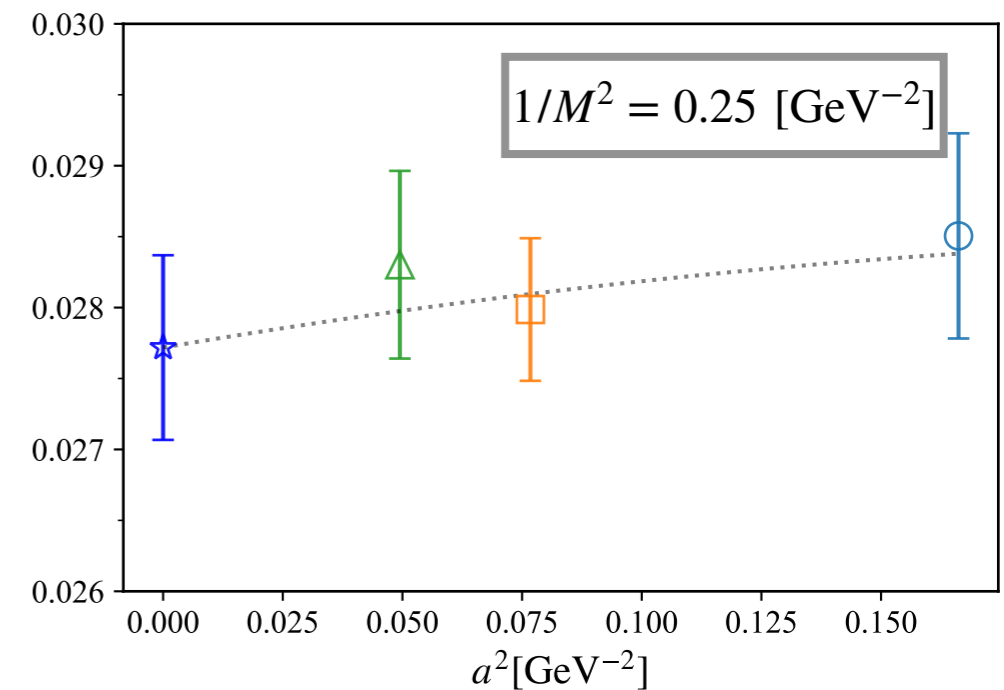
- $\tilde{\Pi}^{\text{lat}}(M^2)$ はくりこまれていて、 $\overline{\text{MS}}$ にマッチング済み
X-space method [Tomii et al., 2016]
- 離散化誤差は小さい

連続極限

$$\Pi^{\text{lat}}(M^2) = \Pi^{\text{cont}}(M^2)(1 + b_0 M^2 a^2)(1 + b_1 \Lambda^2 a^2)$$

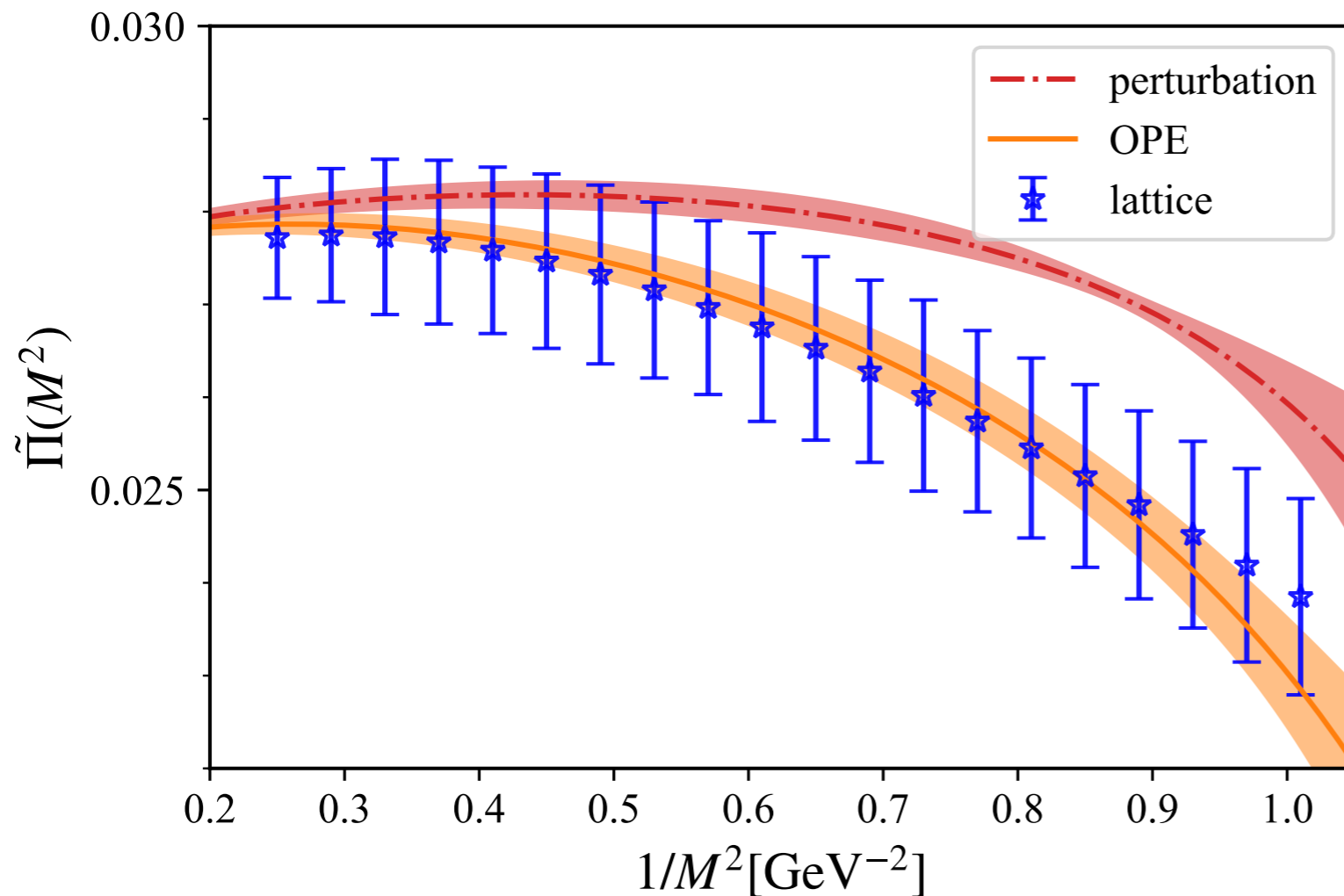


M^2 に依存した離散化誤差も考慮して $a \rightarrow 0$ 極限をとる



摂動+OPEとの比較

$$\tilde{\Pi}^{\text{OPE}}(M^2) = \sum_{i=0}^4 c_i(M^2) \alpha_s^i + \frac{m_s^2}{M^2} c_s(\alpha_s) + \frac{m_s \langle \bar{s}s \rangle}{M^3} c_{\bar{s}s}(\alpha_s) + \frac{\langle \frac{\alpha_s}{\pi} G^2 \rangle}{M^4} c_{G^2}(\alpha_s) + \dots$$



- 摂動は $O(\alpha_s^4) + O(m_s^2, m_s^2 \alpha_s)$ まで
- OPE は次元 6 の凝縮まで

input
 $\mu^2 = M^2 e^{-\gamma_E}$
 $m_s(2 \text{ GeV}) = 0.0920(11) \text{ GeV}$
 $\Lambda_{\overline{\text{MS}}}^{n_f=3} = 0.332(17) \text{ GeV}$
 $\langle \bar{s}s \rangle = (0.272(5) \text{ GeV})^3$

次元 4 の係数の決定

$$\tilde{\Pi}(M^2) = \sum_{i=0}^4 c_i(M^2) \alpha_s^i + \frac{m_s^2}{M^2} c_s(\alpha_s) + \boxed{\frac{c_4}{M^4}} \leftarrow \text{フィット}$$

$0.25 \leq 1/M^2 [\text{GeV}^{-2}] \leq 0.69$ の範囲でフィット

▶ $c_4 = -0.32(9) \times 10^{-2} \text{ GeV}^4$

カイラル凝縮の寄与を差し引くことでグルーオン凝縮を推定

▶ $\langle \frac{\alpha_s}{\pi} G^2 \rangle = 0.6(1.0) \times 10^{-2} \text{ GeV}^4$ 括弧内は統計誤差のみ

- 現象論と同程度の精度
- より精密な決定には、高い統計と高次の摂動計算が必要

	$\langle \frac{\alpha_s}{\pi} G^2 \rangle \times 10^2 [\text{GeV}^4]$
[SVZ, 79]	1.20(36)
.....
[Geshkenbein et al, 01]	0.6(1.2)
[Davier et al, 14]	-3.4 ~ -0.5

まとめと展望

- QCD sum rule に現れる HVP の Borel 変換を格子 QCD の相関関数から計算した。
- 本研究は QCD sum rule と格子 QCD を結びつけることができる。スケールが中間的な領域で、格子計算から摂動 QCD ・ OPE の検証を行い、一致する結果を得た。
- 格子・連続理論の両方でよく計算できるため QCD のパラメータ決定に応用できる。別のチャンネルでの計算はパラメータ決定に有用。
 - ▶ $V + A$: 摂動的効果に感度
 - ▶ $V - A$: 質量項や非摂動的効果に感度

タウ粒子のハドロンの崩壊

$$R_\tau = \frac{\Gamma(\tau \rightarrow \nu_\tau + \text{hadrons})}{\Gamma(\tau \rightarrow \nu_\tau e^- \bar{\nu}_e)}$$

$$\propto \int_0^{m_\tau^2} \frac{ds}{m_\tau^2} \left(1 - \frac{s}{m_\tau^2}\right)^2 \left[\left(1 + \frac{2s}{m_\tau^2}\right) \rho^{(1)}(s) + \rho^{(0)}(s) \right]$$

- $\rho^{(J)}(s)$: スピン J のハドロンのスペクトル関数
- 崩壊比はスペクトル和で書ける
- V と A の相関関数を計算すれば良い

